

15 恒定磁场

-导磁材料的磁化

邹建龙

主要内容

- 基于磁化能力的材料分类
- 磁偶极子和磁偶极矩
- 导磁材料的磁化强度
- 导磁材料的等效磁化体电流和面电流
- 导磁材料中的安培环路定律
- 磁通量、磁通密度和磁场强度的联系和区别

基于磁化能力的材料分类

抗磁材料：对外施磁场产生微乎其微的抵抗。

抗磁材料：金、银、铜、水、大多数有机物和生物体等

顺磁材料：对外施磁场产生微乎其微的加强。

顺磁材料：铝、镁、钛、氧等

铁磁材料：对外施磁场产生山呼海啸的加强。

铁磁材料：铁、钴、镍、钢、铁氧体、永磁铁等

磁化后的附加磁场特别强

基于磁化能力的材料分类-铁磁材料分类

铁磁材料可以进一步分为3类：

（1）硬磁材料：

俗称永磁铁，撤掉外施磁场仍保留磁性

常见硬磁材料：碳钢、钨钢、锰钢、铈铁硼等

硬磁材料用途：耳机、指南针、永磁电机、磁电系仪表等

（2）软磁材料

撤掉外施磁场，磁性消失

常见软磁材料：纯铁、硅钢、铁氧体等

软磁材料用途：变压器、电机、电磁铁、电感（电抗器）等

（3）矩磁材料

要么+1（正），要么-1（反），起到二进制作用

常见矩磁材料：锰镁铁氧体、锂锰铁氧体等

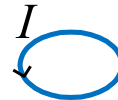
矩磁材料用途：磁盘存储、开关等

矩磁材料具有近矩形的磁滞曲线（B-H曲线），

磁偶极子

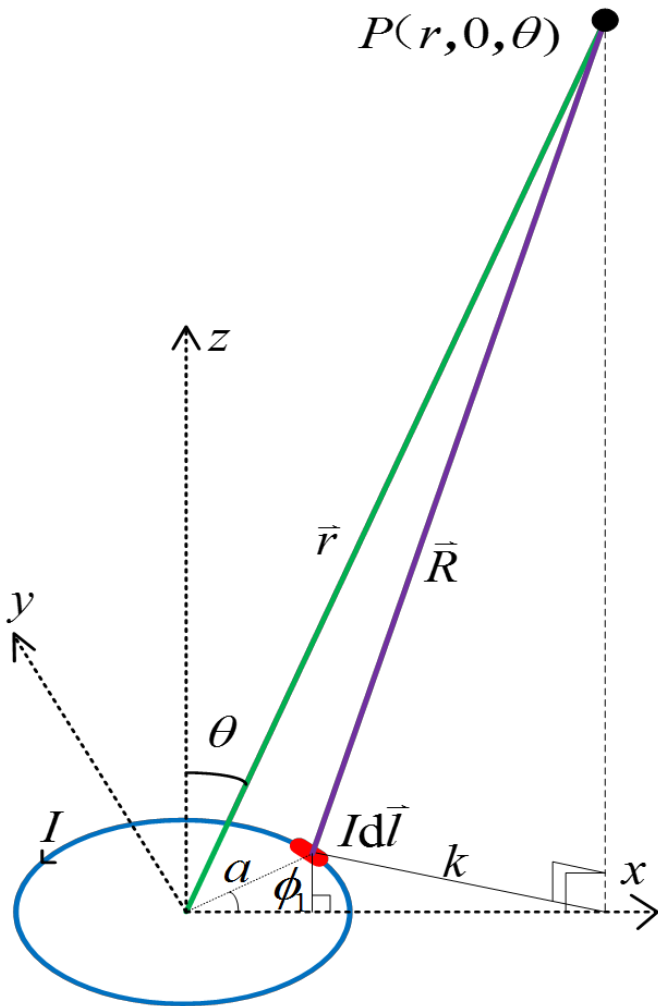
- 通以电流的**极小圆环**称为磁偶极子
- 目标是求**远离圆环的P点**的磁场
(P与圆环的距离远大于圆环半径)
- 根据图形特点, 宜采用**球坐标系**
- 根据图形对称性, **P点磁场与 ϕ 无关**

$P \cdot$

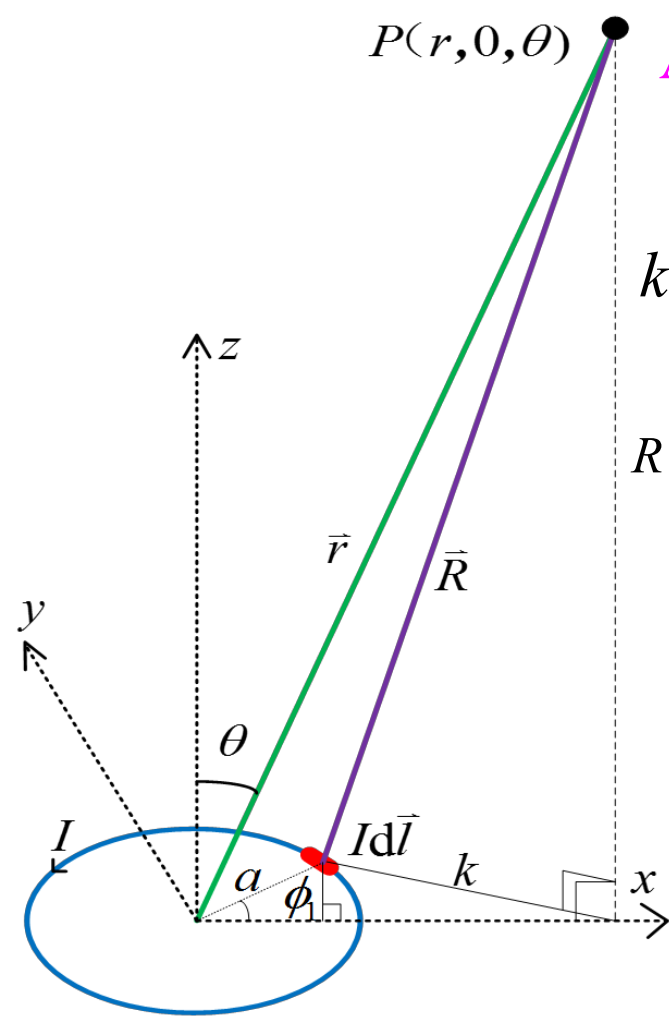


磁偶极子和磁偶极矩

$$\mathbf{A} = \int_l \frac{\mu_0}{4\pi R} I d\mathbf{l}$$



磁偶极子和磁偶极矩



$$\vec{A} = \int_l \frac{\mu_0}{4\pi R} I d\vec{l}$$

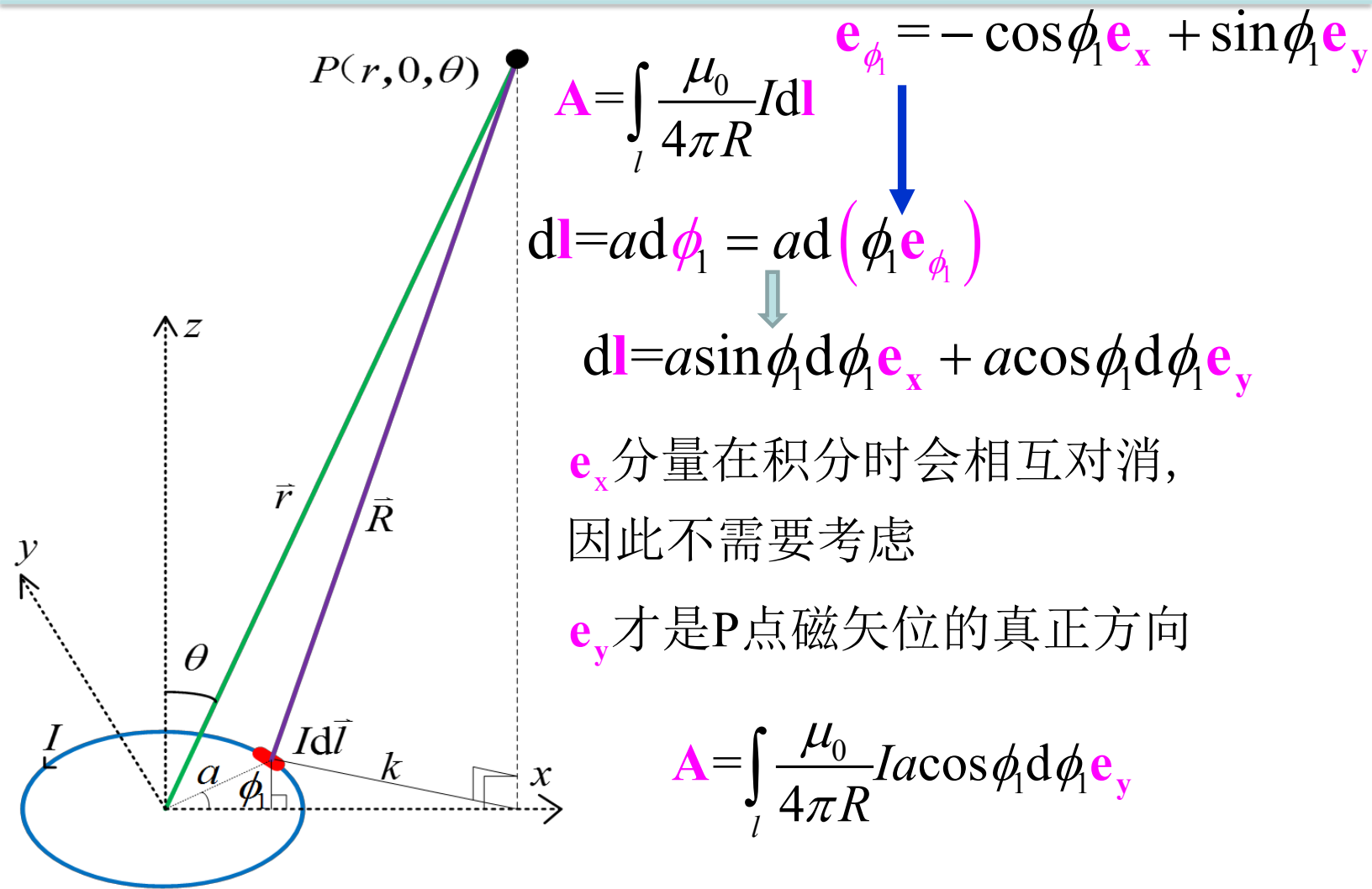
$$k = \sqrt{(a \sin \phi_1)^2 + (r - a \cos \phi_1)^2}$$

$$R = \sqrt{k^2 + (r \cos \theta)^2}$$

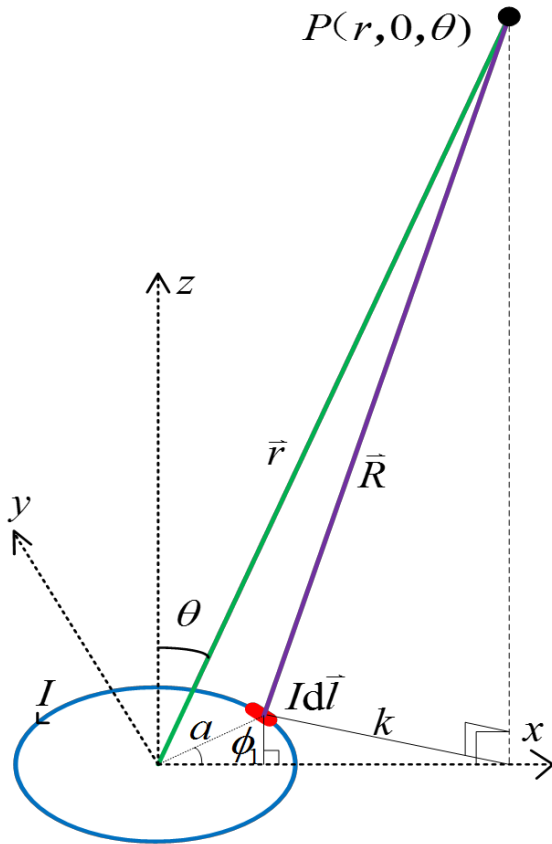
$$= \sqrt{(a \sin \phi_1)^2 + (r \sin \theta - a \cos \phi_1)^2 + (r \cos \theta)^2}$$

$$= (r^2 + a^2 - 2ra \sin \theta \cos \phi_1)^{\frac{1}{2}}$$

磁偶极子和磁偶极矩



磁偶极子和磁偶极矩



$$\mathbf{A} = \int_l \frac{\mu_0}{4\pi R} I a \cos \phi_1 d\phi_1 \mathbf{e}_y$$

$$A = \int dA = \int \frac{\mu_0}{4\pi} \frac{1}{R} I a \cos \phi_1 d\phi_1$$

$$= \int_0^{2\pi} \frac{1}{R} \frac{\mu_0}{4\pi} I a \cos \phi_1 d\phi_1$$

$$R = (r^2 + a^2 - 2ra \sin \theta \cos \phi_1)^{\frac{1}{2}}$$

$$A = \int_0^{2\pi} (r^2 + a^2 - 2ra \sin \theta \cos \phi_1)^{-\frac{1}{2}} \frac{\mu_0}{4\pi} I a \cos \phi_1 d\phi_1$$

磁偶极子和磁偶极矩

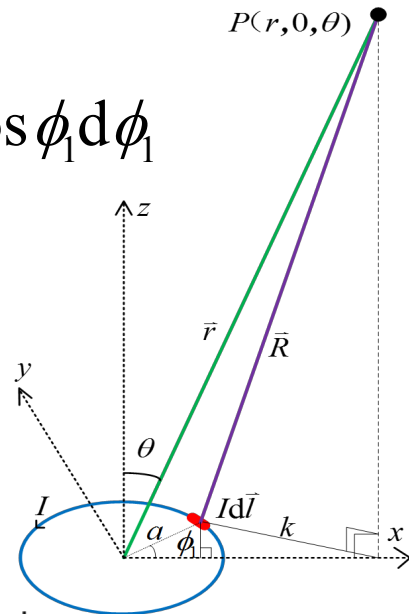
$$A = \int_0^{2\pi} \left(r^2 + a^2 - 2ra \sin \theta \cos \phi_1 \right)^{-\frac{1}{2}} \frac{\mu_0}{4\pi} I a \cos \phi_1 d\phi_1$$

$$A = \int_0^{2\pi} \frac{1}{r} \left[1 + \left(\frac{a}{r} \right)^2 - \frac{2a}{r} \sin \theta \cos \phi_1 \right]^{-\frac{1}{2}} \frac{\mu_0}{4\pi} I a \cos \phi_1 d\phi_1$$

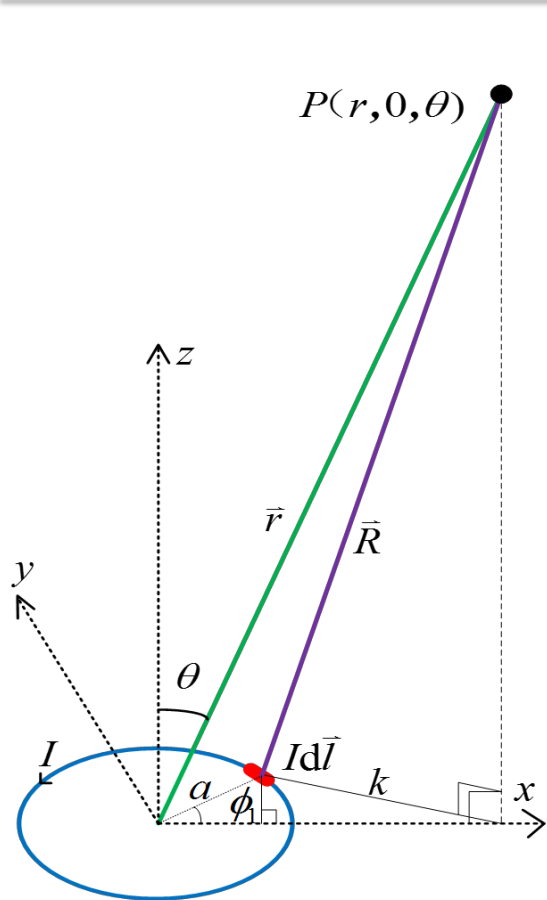
$$\approx \int_0^{2\pi} \frac{1}{r} \left[1 - \frac{2a}{r} \sin \theta \cos \phi_1 \right]^{-\frac{1}{2}} \frac{\mu_0}{4\pi} I a \cos \phi_1 d\phi_1$$

$$f(x + \Delta x) = f(x) + f'(x)\Delta x + \frac{f''(x)}{2}(\Delta x)^2 + \dots$$

$$A \approx \frac{\mu_0}{4\pi r} I \int_0^{2\pi} \left(1 + \frac{a}{r} \sin \theta \cos \phi_1 \right) \cos \phi_1 a d\phi_1$$



磁偶极子和磁偶极矩



$$A \approx \frac{\mu_0}{4\pi r} I \int_0^{2\pi} \left(1 + \frac{a}{r} \sin \theta \cos \phi_1 \right) \cos \phi_1 a d\phi_1$$

$$= \frac{\mu_0 I a^2 \sin \theta}{4r^2}$$

$$\mathbf{A} = \frac{\mu_0 I a^2 \sin \theta}{4r^2} \mathbf{e}_\phi = \frac{\mu_0 I \pi a^2 \mathbf{e}_z \times \mathbf{e}_r}{4\pi r^2}$$

$$\mathbf{A} = \frac{\mu_0 \mathbf{m} \times \mathbf{e}_r}{4\pi r^2}$$

$$\mathbf{m} = I \pi a^2 \mathbf{e}_z = I \mathbf{S}$$

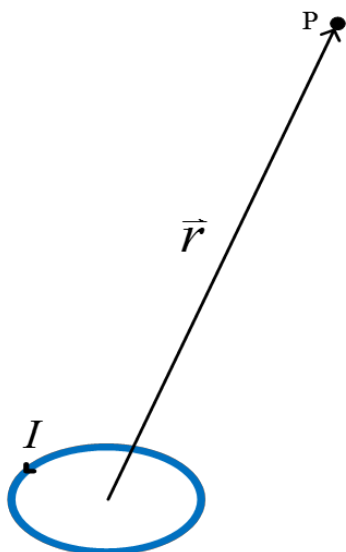
磁偶极矩

$$\mathbf{B} = \nabla \times \mathbf{A} = \frac{\mu_0 I a^2}{4r^3} (2 \cos \theta \mathbf{e}_r + \sin \theta \mathbf{e}_\theta)$$

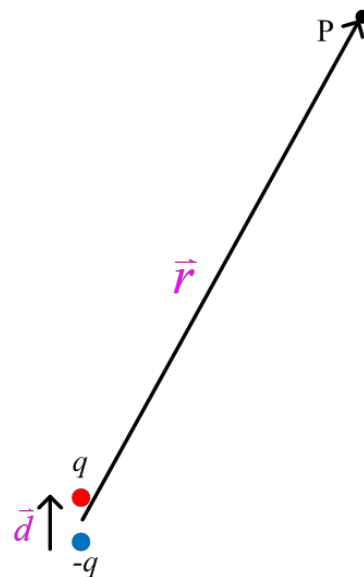
这是经过查阅教材附录334页
球坐标系旋度公式，并且经
过极为繁琐的计算得到

磁偶极子和电偶极子的对偶

磁偶极子



电偶极子



$$\begin{aligned}\vec{m} &\longleftrightarrow \vec{p} \\ \vec{S} &\longleftrightarrow \vec{d} \\ I &\longleftrightarrow q\end{aligned}$$

磁矢位 $\mathbf{A} = \frac{\mu_0 \mathbf{m} \times \mathbf{e}_r}{4\pi r^2}$

电位 $\varphi = \frac{\mathbf{p} \cdot \mathbf{e}_r}{4\pi\epsilon_0 r^2}$

磁偶极矩 $\mathbf{m} = I\pi a^2 \mathbf{e}_z = I\mathbf{S}$

电偶极矩 $\mathbf{p} = q\mathbf{d}$

材料的磁化

- 电子绕原子核运动，这是电荷的流动，
- 电荷的流动就形成了电流，称为分子电流（束缚电流）
- 分子电流会产生磁场 电子绕核运动 → 分子电流 → 磁偶极子
- 无外加磁场时，分子电流磁场杂乱无章，总磁场为零
- 有外加磁场时，分子电流受力，方向趋同，产生不为零的总磁场
- 单个分子电流的磁偶极矩为 $\mathbf{m} = I\mathbf{S}$ 外加磁场
- 单位体积内的分子磁矩矢量和称为磁化强度 ↓
分子电流受力重新排列

$$\mathbf{M} = \lim_{\Delta V \rightarrow 0} \frac{\sum \mathbf{m}_i}{\Delta V}$$

↓
相当于很多磁偶极子，产生附加磁场

材料的磁化

$$\mathbf{M} = \lim_{\Delta V \rightarrow 0} \frac{\sum \mathbf{m}_i}{\Delta V}$$

- 经过极为复杂的推导过程，可得

$$\mathbf{A} = \int_V \frac{\mu_0 \nabla \times \mathbf{M}}{4\pi R} dV + \oint_S \frac{\mu_0 \mathbf{M} \times \mathbf{e}_n}{4\pi R} dS$$

- 大量磁偶极子的作用可等效为

磁化体电流和磁化面电流的共同作用

$$\mathbf{J}_M = \nabla \times \mathbf{M}$$

$$\mathbf{K}_M = \mathbf{M} \times \mathbf{e}_n$$

$\nabla \times \mathbf{M}$ 、 $\mathbf{M} \times \mathbf{e}_n$ 与电流密度的单位相同。

对 \mathbf{A} 的贡献等效为体电流和面电流共同作用。

这是数学推导出来的结果在物理上的解释。

$$\mathbf{A} = \int_V \frac{\mu_0}{4\pi R} \mathbf{J} dV$$

$$\mathbf{A} = \int_S \frac{\mu_0}{4\pi R} \mathbf{K} dS$$

导磁材料中的安培环路定律（微分形式）

$$\nabla \times \mathbf{B} = \mu_0 \mathbf{J}$$

(in vacuum)

$$\nabla \times \mathbf{B} = \mu_0 (\mathbf{J} + \mathbf{J}_M)$$

(in magnetic material)

$$\mathbf{J}_M = \nabla \times \mathbf{M}$$

附加磁化的等效电流密度

$$\nabla \times \left(\frac{\mathbf{B}}{\mu_0} - \mathbf{M} \right) = \mathbf{J}$$

(in magnetic material)

$$\nabla \times \mathbf{H} = \mathbf{J}$$

Let $\mathbf{H} = \frac{\mathbf{B}}{\mu_0} - \mathbf{M}$

导磁材料中安培环路定律的微分形式

导磁材料中的安培环路定律（积分形式）

$$\nabla \times \mathbf{H} = \mathbf{J}$$

导磁材料中安培环路定律的**微分形式**

斯托克斯旋度定理 $\oint_l \mathbf{H} \cdot d\mathbf{l} = \int_s \nabla \times \mathbf{H} \cdot d\mathbf{S}$



$$\oint_l \mathbf{H} \cdot d\mathbf{l} = \int_s \mathbf{J} \cdot d\mathbf{S} = I$$

导磁材料中安培环路定律的**积分形式**

$$\oint_l \mathbf{H} \cdot d\mathbf{l} = I$$

微分形式

↓ Stokes 旋度定理

积分形式

B与H的关系

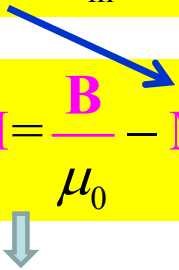
$$\mathbf{H} = \frac{\mathbf{B}}{\mu_0} - \mathbf{M}$$

\mathbf{M} 未知，所以还是无法建立 \mathbf{B} 和 \mathbf{H} 的关系

\mathbf{M} 与 \mathbf{H} 有关，其关系可通过实验测定，有很多种可能性

当导磁材料为线性且各向同性时， \mathbf{M} 与 \mathbf{H} 成正比

$$\mathbf{M} = \chi_m \mathbf{H} \quad \chi_m \text{称为磁化率，无量纲}$$


$$\mathbf{H} = \frac{\mathbf{B}}{\mu_0} - \mathbf{M}$$

$$\mathbf{B} = \mu_0(\mathbf{H} + \mathbf{M}) = \mu_0(\mathbf{H} + \chi_m \mathbf{H}) = \mu_0(1 + \chi_m) \mathbf{H} = \mu_r \mu_0 \mathbf{H} = \mu \mathbf{H}$$

$$\mu_r = 1 + \chi_m \text{称为相对磁导率, } \mu = \mu_r \mu_0 \text{称为磁导率}$$

$$\mathbf{B} = \mu \mathbf{H}$$

这就是线性各项同性材料中的 \mathbf{B} 和 \mathbf{H} 关系

磁通量、磁通密度和磁场强度的联系和区别

磁偶极子、磁偶极矩

磁介质中有大量分子电流 $\xrightarrow{\quad}$ 得到A的形式、磁化的体密度与面密度

磁化强度 \vec{M}

磁介质中的安培环路定理 \leftarrow 定义H、由M和H实验关系得出B与H的关系

磁通量：磁感线穿过平面的数量

磁通密度B \rightarrow $\Phi = \oint \vec{B} \cdot d\vec{S}$ 、B从力的角度定义、 $d\vec{B} = Id\vec{l} \times \vec{e}_r$

磁场强度H \rightarrow $\vec{H} = \frac{\vec{B}}{\mu_0} - \vec{M}$ 、反映B和M间的关系。

安培环路定律例题1：一矩形截面的镯环，镯环上绕有 N 匝线圈，电流为 I ，如图所示，试求气隙中的 \mathbf{B} 和 \mathbf{H} 。

解：在镯环内， $\mu \rightarrow \infty$ ， $\mathbf{B} = \mu \mathbf{H}$ 为有限值，所以镯环内 $\mathbf{H} = 0$ 。

取安培环路的半径， $R_1 < r < R_2$ 且环路与 I 交链，

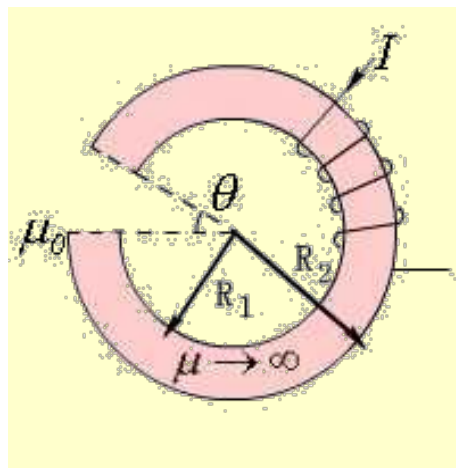
$$\begin{aligned} \mu &\rightarrow \infty \\ \mu &= \mu_0 \mu_r \Rightarrow \mu_r = \frac{\mu}{\mu_0} \rightarrow \infty \end{aligned}$$

忽略边缘效应 $\oint_L \mathbf{H} \cdot d\mathbf{l} = NI$

$$H r \theta = NI \quad r\theta \text{ 为弧长}$$

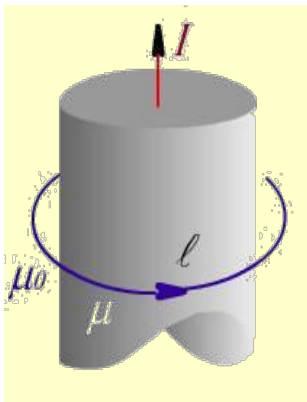
$$\mathbf{H} = \frac{NI}{r\theta} \mathbf{e}_\phi$$

$$\mathbf{B} = \frac{\mu_0 NI}{r\theta} \mathbf{e}_\phi$$



镯环

安培环路定律例2：有一磁导率为 μ ，半径为 a 的无限长导磁圆柱，其轴线处有无限长的线电流 I ，圆柱外是空气 μ_0 ，试求 \mathbf{B} ， \mathbf{H} 与 \mathbf{M} 的分布。



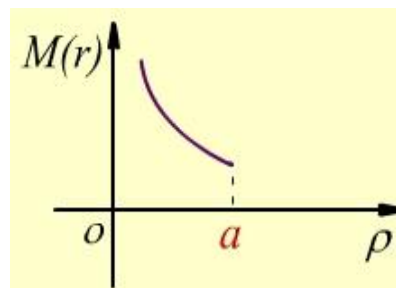
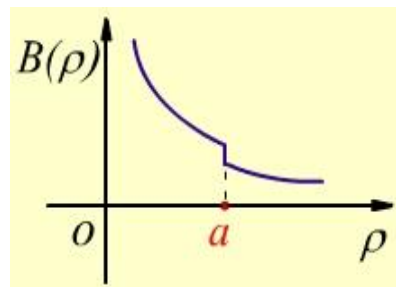
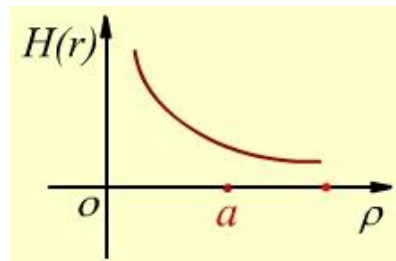
解： 平行平面磁场，且轴对称，故

$$\oint_l \mathbf{H} \cdot d\mathbf{l} = 2\pi\rho H = I$$

$$\mathbf{H} = \frac{I}{2\pi\rho} \mathbf{e}_\phi \quad 0 < \rho < \infty$$

$$\mathbf{B} = \begin{cases} \frac{\mu I}{2\pi\rho} \mathbf{e}_\phi & 0 < \rho < a \\ \frac{\mu_0 I}{2\pi\rho} \mathbf{e}_\phi & a < \rho < \infty \end{cases}$$

$$\mathbf{M} = \frac{\mathbf{B}}{\mu_0} - \mathbf{H} = \begin{cases} \frac{\mu - \mu_0}{\mu_0} \cdot \frac{I}{2\pi\rho} \mathbf{e}_\phi & 0 < \rho < a \\ 0 & a < \rho < \infty \end{cases}$$



作业十三

- 1 写出 \mathbf{J}_m （磁化电流面密度）和 \mathbf{K}_m （磁化电流线密度）与磁化强度 \mathbf{M} 之间的关系式
- 2 写出导磁材料中 \mathbf{H} 、 \mathbf{B} 和 \mathbf{M} 三者之间的关系式（三者同时出现）
- 3 写出导磁材料中的安培环路定律（积分形式和微分形式）
- 4 简述磁通量、磁通密度和磁场强度的联系和区别
- 5 教材3-2-1
- 6 教材3-2-2
- 7 教材3-2-3